

Таблиця 1 – Аналіз кінематичних пар

Позначення пари	O	A	B	E	C	O_1	O_2
Ланки, що утворюють пару	0-1	1-2	2-3	2-4	4-5	3-0	5-0
Клас пари	V	V	V	V	V	V	V
Вид пари	OKII	OKII	OKII	OKII	OKII	OKII	OKII

Аналіз ланок, які входять до складу механізму, наведено у таблиці 2.2.

Таблиця 2 – Аналіз ланок механізму

Номер ланки	0	1	2	3	4	5
Назва ланки	Стійка	Кривошип	Шатун	Коромисло	Шатун	Коромисло
Характер руху	Нерух.	Оберт.	Ілаский	Обертальний	Ілаский	Обертальний

Ступінь рухомості отриманого механізму розраховуємо за формулою Чебишева:

$$W = 3n - 2p_5 - p_4$$

де $n=5$ – число рухомих ланок кінематичного ланцюга,

$p_5=7$ – число кінематичних пар V класу.

$p_4=0$ – число кінематичних пар IV класу.

$$W = 3 \cdot 5 - 2 \cdot 7 = 1$$

Побудову структурної схеми починаємо зі стійки. Далі приєднуємо до стійки всі ланки, що утворюють з нею кінематичні пари. Структурну схему наведено на рисунку 1.

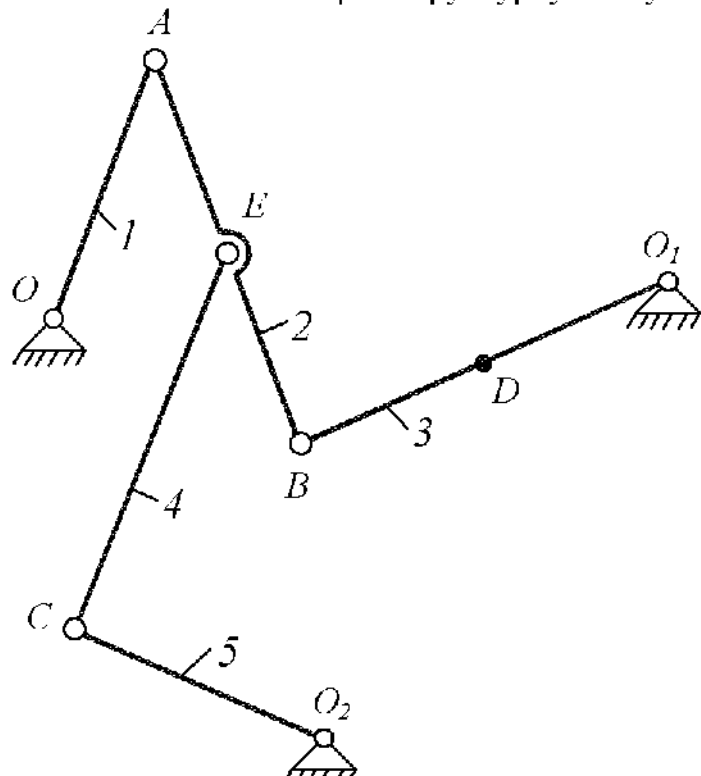


Рисунок 1 – Структурна схема механізму

Визначаємо клас наведеного механізму. Для цього розбиваємо його на групи Ассура (рисунок 2).

Як видно, механізм складається з початкового механізму першого класу та двох груп другого класу другого порядку.

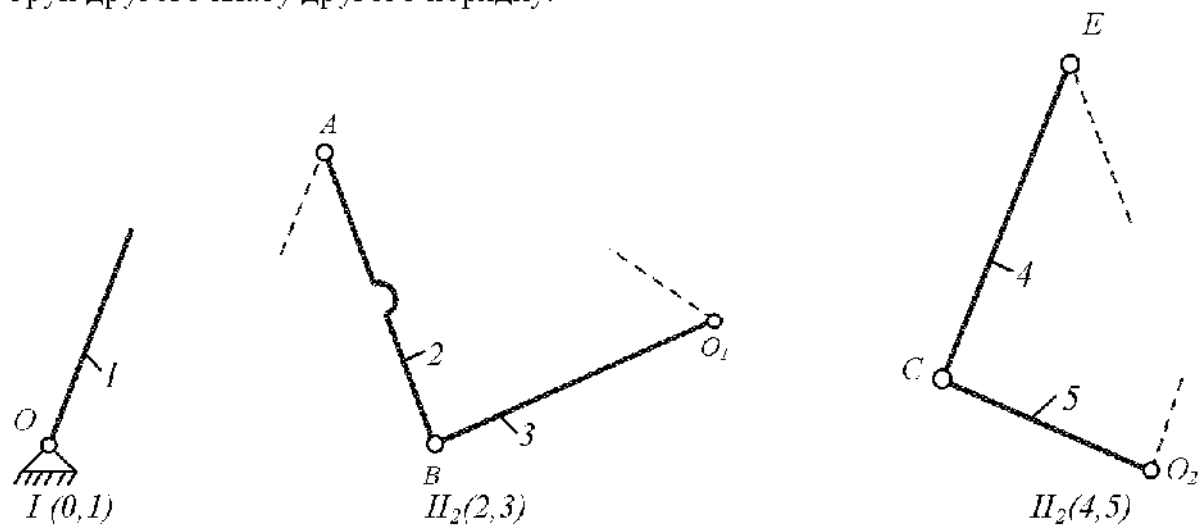


Рисунок 2 Аналіз механізму за групами Ассура

Таким чином, досліджуваний механізм є механізмом другого класу. Формула побудови механізму:

$$I(0,1) \leftarrow II_2(2,3) \leftarrow II_2(4,5)$$

Побудову плану швидкостей починаємо з початкового механізму.

Визначаємо абсолютну швидкість точки A₁:

$$V_{A_1} = V_O + V_{A_1 O},$$

де $V_O = 0$, так як точка належить стійці

$$V_{A_1} = l_{OA_1} \omega_1$$

V_{A_1} - спрямована перпендикулярно до ланки OA.

Обираємо масштаб плану швидкостей:

$$\mu_V = V_{A_1} / pa_1 \frac{m}{c \cdot mm},$$

Тоді на плані швидкості V_{A_1} буде зображенняся відрізком $(pa_1) = \frac{V_{A_1}}{\mu_V}$. На

малюнку з довільно обраної точки p (полюсу плану) проводимо промінь перпендикулярно до ланки OA і відкладаємо на ньому відрізок pa_1 .

Швидкості точок A₁ та A₂ однакові, оскільки 1 та 2 ланки поєднані обертальною парою. Аналогічно можна сказати й про швидкості точок B₂ та B₃, які визначаємо з наступних рівнянь:

$$\begin{aligned}\overline{V_{B_2}} &= \overline{V_{A_2}} + \overline{V_{B_2 A_2}}; \\ \overline{V_{B_3}} &= \overline{V_{O_1}} + \overline{V_{B_3 O_1}},\end{aligned}$$

де $V_{O_1} = 0$, так як точка O₁ нерухома й на плані знаходиться у полюсі. Швидкість $V_{B_2 A_2}$ спрямована перпендикулярно до ланки AB, а $V_{B_3 O_1}$ - перпендикулярно до ланки O₁B. Швидкості точок E та D визначаємо за співвідповідностями:

$$\begin{aligned}\frac{l_{AB}}{l_{AE}} &= \frac{(ab)}{(ae)}, \quad \frac{l_{O_1 B}}{l_{O_1 D}} = \frac{(pb)}{(pd)}\end{aligned}$$

Точки E та D знаходяться посередині відповідних ланок, на плані швидкостей ці точки також знаходяться посередині відповідних ланок. Швидкості точок E_2 та E_4 однакові, бо ланки 2 та 4 поєднані між собою. Analogічно можна сказати й про швидкості точок C_4 та C_5 , які визначаємо з наступних рівнянь:

$$\bar{V}_{C_4} = \bar{V}_{E_4} + \bar{V}_{C_4 E_4};$$

$$V_{C_5} = V_{O_2} + V_{C_5 O_2},$$

де $V_{O_2} = 0$, так як точка O_2 нерухома й на плані знаходиться у полюсі. Швидкість $V_{C_4 E_4}$ спрямована перпендикулярно до ланки CE , а $V_{C_5 O_2}$ перпендикулярно до ланки $O_2 C$.

Швидкість точок

$$V_{B_2 A_2} = (ab) \mu_V.$$

$$V_{B_3 O_1} = (pb) \mu_V.$$

$$V_{C_5 O_2} = (pc) \mu_V.$$

$$V_{C_4 E_4} = (ce) \mu_V.$$

Знаходимо кутові швидкості відповідних ланок:

$$\omega_2 = V_{B_2 A_2} / l_{AB}$$

$$\omega_3 = V_{B_3 O_1} / l_{BO_1};$$

$$\omega_4 = V_{CE} / l_{CE}$$

$$\omega_5 = V_{CO_2} / l_{O_2 C}$$

Побудову плану прискорень проводимо в тій самій послідовності, що й плану швидкостей.

Рівняння для знаходження прискорення точки A_1 :

$$\ddot{a}_{A_1} = \ddot{a}_O - \ddot{a}_{A_1 O}^n + \ddot{a}_{A_1 O}^\tau,$$

де $\ddot{a}_O = 0$, бо точка падежить стійці, $\ddot{a}_{A_1 O}^\tau = 0$, бо кутове прискорення ланки дорівнює нулю (через рівномірне обертання).

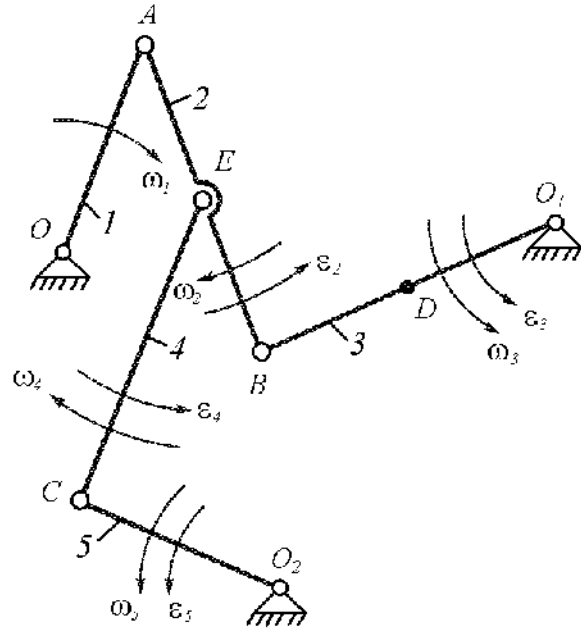
Знаходимо нормальну складову прискорення точки A_1 :

$$\ddot{a}_{A_1 O}^n = \omega_1^2 \cdot l_{OA_1}.$$

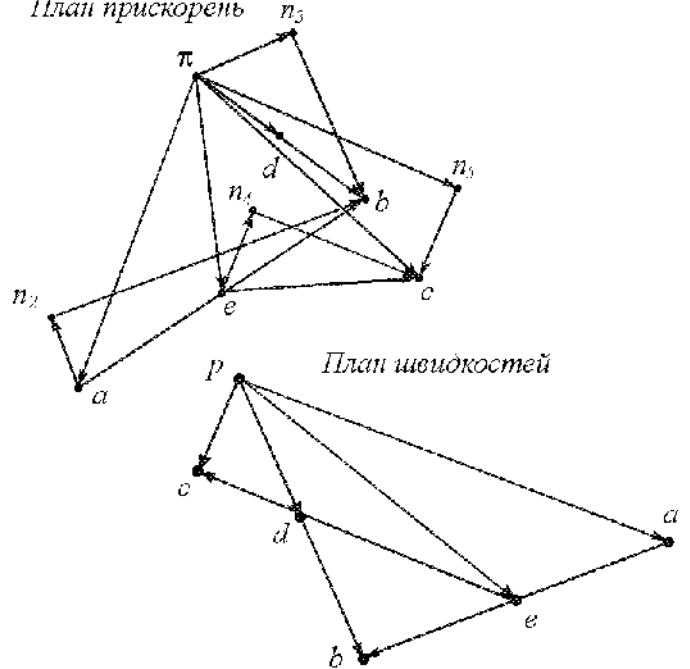
Визначаємо масштаб плану прискорень: $\mu_a = \ddot{a}_{A_1} / (\pi a_1)$.

Прискорення точок A_1 та A_2 однакові, оскільки 1 та 2 ланки поєднані обертальною парою. Аналогічно можна сказати й про прискорення точок B_2 та B_3 .

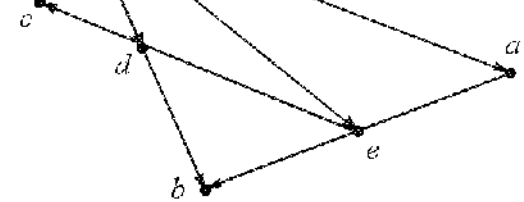
Кінематична схема важільного механізму



План прискорень



План швидкостей



Задача 3. У механізмі, кінематику якого розглянуто у задачі 2 в т.Е перпендикулярно до ланки прикладена сила $\bar{F} = 100 \text{ N}$, а до ланки CO_2 обертальний момент $M = 100 \text{ Nm}$, спрямований за годинниковою стрілкою. Ці сили вважати рівнодійними для всіх зовнішніх та інерційних сил.

Кінематична схема важільного механізму

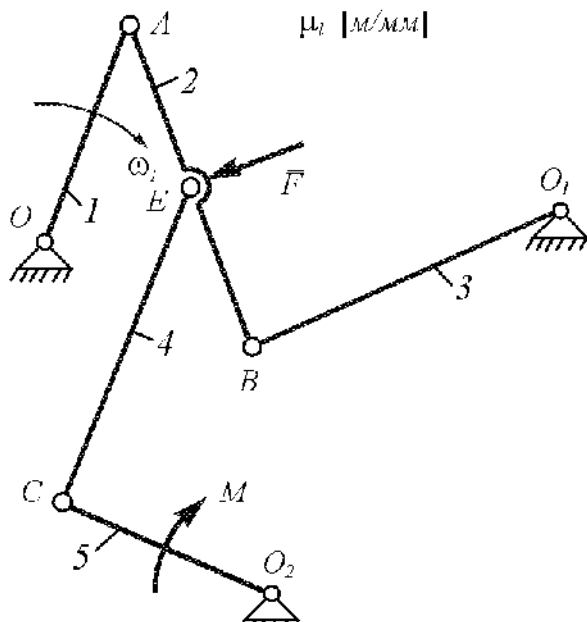


Схема підантаження механізму

Кінетостатичне дослідження почнемо з останньої приєднаної групи, так як вона статично визначена.

Група 4-5.

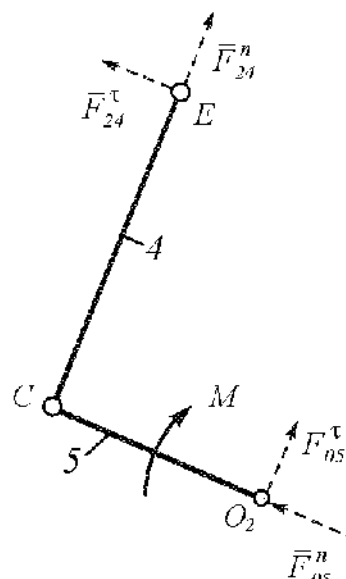


Схема підантаження групи 4-5

На ланки цієї групи діє зведений момент сил та невідомі реакції в точках $O_2 - \bar{F}_{05}^n$ та $E - \bar{F}_{24}^n$. Оскільки ці реакції невідомі як по величині, так і по напрямку, розкладаємо їх на складові:

$$F_{05} = F_{05}^n - F_{05}^t;$$

$$\bar{F}_{24} = \bar{F}_{24}^n + \bar{F}_{24}^t.$$

Нормальні складові спрямовуємо вздовж відповідних ланок, а дотичні – перпендикулярно. Для зупинки дотичних складових записуємо складасмо рівняння моментів сил відносно т. С. За позитивний приймається напрямок моменту проти годинникової стрілки.

$$\Sigma M_C^{(5)} = 0: \quad F_{05}^{\tau} \cdot l_{O_2 C} - M = 0, \Rightarrow F_{05}^{\tau} = M / l_{O_2 C}.$$

$$\Sigma M_C^{(4)} = 0: \quad F_{24}^{\tau} \cdot l_{CE} = 0, \Rightarrow F_{24}^{\tau} = 0.$$

Величини нормальних складових знаходимо з графічного рівняння рівноваги ланок 4 та 5: $\bar{F}_{05}^n + \bar{F}_{05}^{\tau} + \bar{F}_{24}^{\tau} - \bar{F}_{24}^n = 0$,

Із плану сил знаходимо

$$F_{24}^n = (bc) \cdot \mu_F, [H];$$

$$F_{05}^n = (ac) \cdot \mu_F, [H].$$

Враховуючи що $F_{24} = -F_{42}$.

Група 2-3.

На ланки цієї групи діють: задана сила $F=100 H$;

- сила $F_{42} = -F_{24}$;
- невідомі реакції в точках A та O_1 .

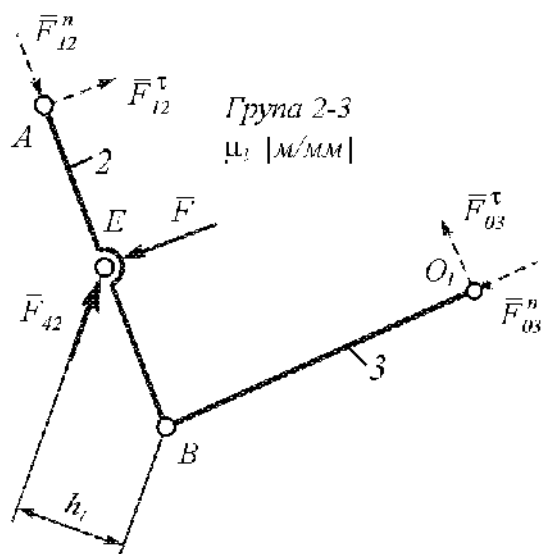


Схема навантаження групи 2-3

Розкладаємо невідомі реакції на складові:

$$F_{03} = F_{03}^n - F_{03}^{\tau};$$

$$\bar{F}_{12} = \bar{F}_{12}^n - \bar{F}_{12}^{\tau}.$$

Нормальні складові спрямовуємо вздовж відповідних ланок, а дотичні – перпендикулярно. Для зупинки дотичних складових записуємо складасмо рівняння моментів сил відносно т. В:

$$\Sigma M_B^{(3)} = 0: \quad F_{03}^{\tau} \cdot l_{O_1 B} = 0, \quad F_{03}^{\tau} = 0,$$

$$\Sigma M_B^{(2)} = 0: \quad F \cdot l_{BE} - F_{12}^{\tau} \cdot l_{AB} + F_{42} \cdot h_1 = 0, \Rightarrow F_{12}^{\tau} = (F \cdot l_{ME} + F_{42} \cdot h_1) / l_{AB}, [H].$$

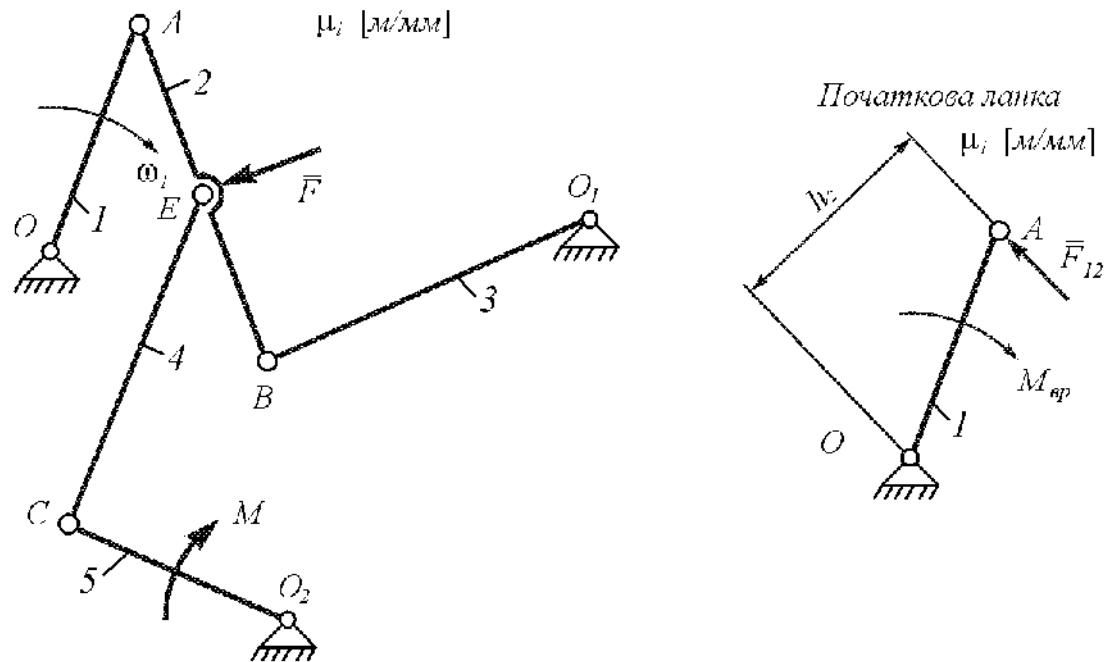
Векторне рівняння рівноваги групи 2-3:

$$\bar{F}_{03}^n + \bar{F}_{03}^{\tau} - \bar{F} + \bar{F}_{42} + \bar{F}_{12}^{\tau} - \bar{F}_{12}^n.$$

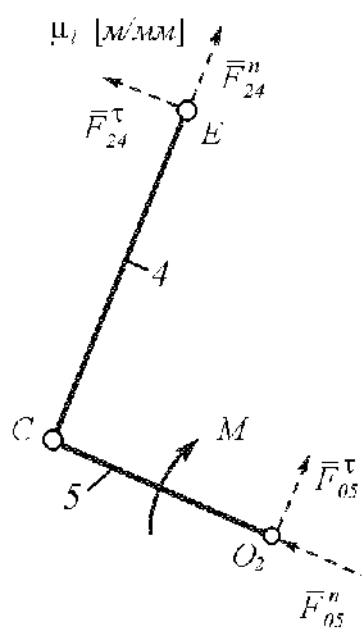
План сил побудуємо в масштабі $\mu_F [H/m]$.

З плану сил знаходимо

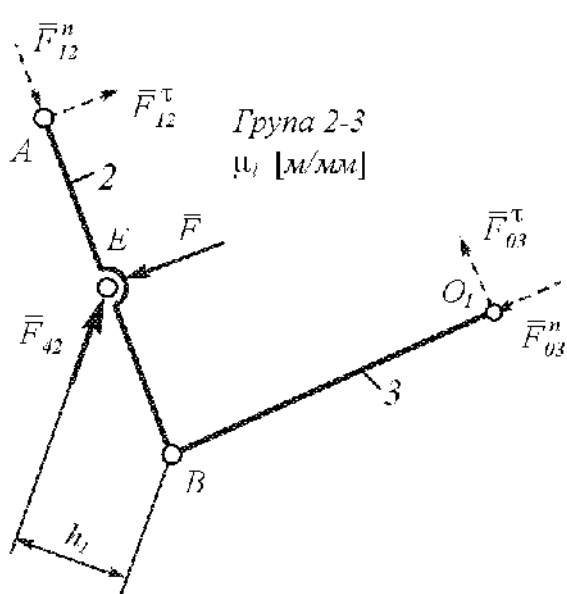
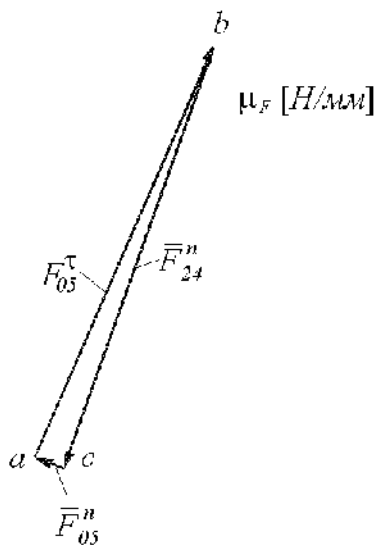
Кінематична схема важільного механізму



Група 4-5

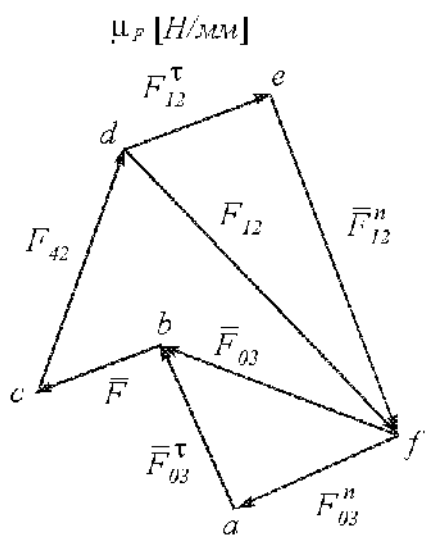


План сил групи 4-5



Група 2-3

План сил групи 2-3



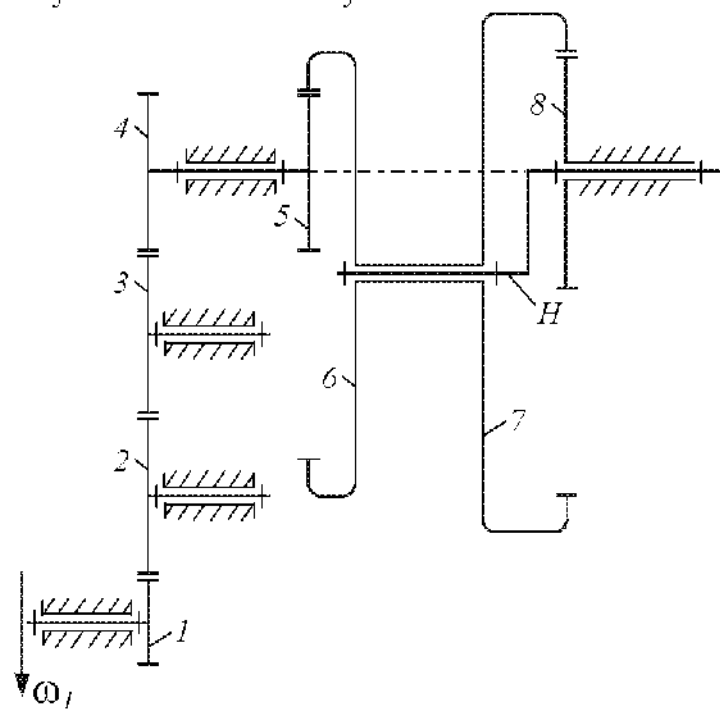
Задача 4. Розрахунок зубчастого механізму

Схема зубчастого механізму

Аналітичний метод

Визначити кутові швидкості вихідної ланки та сателітів аналітичним та графічним методами, $\omega_1=100 \text{ c}^{-1}$, модулі зубчастих коліс прийняти рівними 2 мм для рядової передачі та 6 мм для планетарної передачі, числа зубців:

$$z_1=20, z_2=27, z_3=22, z_4=40, z_5=25, z_6=75, z_7=80, z_8=30.$$

Визначення кутових швидкостей аналітичним методом

Розраховуємо передатні відношення:

$$U_{12}=z_2/z_1=27/20=1,35;$$

$$U_{23}=z_3/z_2=22/27=0,82;$$

$$U_{34}=z_4/z_3=40/22=1,82;$$

$$U_{45}=U_{12} \cdot U_{23} \cdot U_{34} = \frac{z_2 \cdot z_3 \cdot z_4}{z_1 \cdot z_2 \cdot z_3} = \frac{z_4}{z_1} = \frac{40}{20} = 2;$$

$$U_{56}^S = 1 - U_{55}^H = 1 - \frac{z_6}{z_5} \frac{z_8}{z_7} = 1 - \frac{75 \cdot 30}{25 \cdot 80} = -0,125$$

Кутові швидкості:

$$\omega_1 = 100 \text{ c}^{-1}$$

$$\omega_2 = \omega_1/U_{12}=100/1,35=74,07 \text{ c}^{-1}.$$

$$\omega_3 = \omega_2/U_{23}=74,07/0,82=90,33 \text{ c}^{-1}.$$

$$\omega_4 = \omega_3/U_{34}=90,33/1,82=49,6 \text{ c}^{-1}.$$

$$\omega_5 = \omega_4=49,6 \text{ c}^{-1}.$$

$$\omega_H = \omega_5/U_{55}^H = 49,6/0,125=396,8 \text{ c}^{-1}.$$

Для визначення кутових швидкостей сателітів скористуємось формuloю Віліса

$$\frac{\omega_7 - \omega_H}{\omega_8 - \omega_H} = \frac{z_8}{z_7} = \frac{30}{80} = 0,375.$$

$$\omega_7 = \omega_6 = \omega_H - 0,375 \cdot \omega_H = 396,8 - 0,375 \cdot 396,8 = 248 \text{ c}^{-1}.$$

$$\omega_8 = 0.$$

Графічний метод

$$\begin{aligned}z_1 &= 20, \\z_2 &= 27, \\z_3 &= 22, \\z_4 &= 40, \\z_5 &= 25 \\z_6 &= 75, \\z_7 &= 80, \\z_8 &= 30.\end{aligned}$$

Картину швидкостей будуємо за методом Смірного-Куцьбаха. Цей метод ґрунтуються на тому, що лінійні швидкості двох коліс в полюсі зачеплення однакові, швидкості точок на перуходих осях дорівнюють нулью, а швидкості точок коліс вздовж діаметра розподіляються по лінійному закону.

Розв'язок цієї задачі починаємо з того що креслимо дві проекції приводу в масштабі $\mu_l = 0.0033 \frac{m}{mm}$. Оскільки вид зачеплення не заданий, то приймаємо його за нульове, і радіуси початкових кіл дорівнююватимуть діаметрам їх діляльних кіл.

Розраховуємо діаметри коліс:

$$\begin{aligned}d_1 &= mz_1 = 2 \cdot 20 = 40 \text{ мм} \\d_2 &= mz_2 = 2 \cdot 27 = 54 \text{ мм} \\d_3 &= mz_3 = 2 \cdot 22 = 44 \text{ мм} \\d_4 &= mz_4 = 2 \cdot 40 = 80 \text{ мм} \\d_5 &= mz_5 = 2 \cdot 25 = 150 \text{ мм} \\d_6 &= mz_6 = 2 \cdot 75 = 150 \text{ мм} \\d_7 &= mz_7 = 2 \cdot 80 = 160 \text{ мм} \\d_8 &= mz_8 = 2 \cdot 30 = 60 \text{ мм}\end{aligned}$$

Перше колесо обертається з кутовою швидкістю $\omega_1 = 100 \text{ c}^{-1}$.

Швидкість полюса зачеплення коліс 1, 2 розрахуємо за наступною формулою:

$$V_{P12} = \omega_1 \cdot r_1 = 100 \cdot 0.02 = 2 \text{ м/с}$$

Оберемо масштаб для побудови картини швидкостей $\mu_V = 0.4 \frac{m}{c \cdot mm}$;

тоді відрізок, що зображує лінійну швидкість (V_{P12}) — $V_{P12} / \mu_V = 2 / 0.4 = 5 \text{ мм}$.

Для побудови плану кутових швидкостей на продовженні лінії центрів O_1O_2 вікладаємо полюсну відстань (PO). Масштаб плану кутових швидкостей визначаємо за формулою

$$\mu_\omega = \omega_1 / (0 \cdot l) = 100 / 17.7 = 5.65 \frac{\text{рад}}{\text{с} \cdot \text{мм}}$$

З полюсу P проводимо промені паралельно гіпотенузам трикутників розподілу швидкостей на картині швидкостей до перетину з горизонтальною лінією, яка проведена через точку O .

Числові значення кутових швидкостей елементів приводу, які знайдені графічним методом, знаходимо за формулами:

$$\begin{aligned}\omega_2 &= (0 \cdot 2) \cdot \mu_\omega = 13,1 \cdot 5,65 = 74,01 \text{ c}^{-1}; \\ \omega_3 &= (0 \cdot 3) \cdot \mu_\omega = 16,1 \cdot 5,65 = 90,97 \text{ c}^{-1}; \\ \omega_{4,5} &= (0 \cdot 4,5) \cdot \mu_\omega = 8,87 \cdot 5,65 = 50,12 \text{ c}^{-1}; \\ \omega_{6,7} &= (0 \cdot 6,7) \cdot \mu_\omega = 44,3 \cdot 5,65 = 250,3 \text{ c}^{-1}; \\ \omega_H &= (0 \cdot H) \cdot \mu_\omega = 70,96 \cdot 5,65 = 400,9 \text{ c}^{-1};\end{aligned}$$

Розбіжність між кутовими швидкостями, знайденими аналітично і графічно, знаходимо за формулою:

$$\Delta\omega = \frac{\omega_H^m - \omega_H^n}{\omega_H^m} = \frac{400,9 - 396,8}{400,9} \cdot 100\% = 1\%$$

Результати розрахунку наведені у таблиці

ω_i^p, c^{-1}	ω_1	ω_2	ω_3	$\omega_4 - \omega_5$	$\omega_6 - \omega_7$	ω_H
100	74,01	90,97	50,12	250,3	400,9	396,8
0	0	0	0,7	1	0,9	1

Визначення зведеного до ланки 1 момент інерції зубчастого механізму.

$$J_1 = 0,1 \text{ кг}\cdot\text{м}^2;$$

$$J_2 = 0,12 \text{ кг}\cdot\text{м}^2;$$

$$J_3 = 0,11 \text{ кг}\cdot\text{м}^2;$$

$$J_4 = 0,16 \text{ кг}\cdot\text{м}^2;$$

$$J_5 = 0,24 \text{ кг}\cdot\text{м}^2;$$

$$J_6 = 0,32 \text{ кг}\cdot\text{м}^2;$$

$$J_7 = 0,34 \text{ кг}\cdot\text{м}^2;$$

$$J_8 = 0,25 \text{ кг}\cdot\text{м}^2;$$

$$J_H = 0,26 \text{ кг}\cdot\text{м}^2;$$

$$m = 12 \text{ кг.}$$

$$\omega_1 = 100 \text{ с}^{-1}$$

$$\omega_2 = 74,07 \text{ с}^{-1}$$

$$\omega_3 = 90,97 \text{ с}^{-1}$$

$$\omega_4 = 49,6 \text{ с}^{-1}$$

$$\omega_5 = 49,6 \text{ с}^{-1}$$

$$\omega_H = 396,8 \text{ с}^{-1}$$

$$\omega_6 = \omega_7 = 248 \text{ с}^{-1}$$

$$\omega_8 = 0.$$

У зубчатім механізмі восьме колесо нерухоме, а шосте і сьоме – обертаються, як павколо своєї центральної осі, так і павколо осі обертання водила II. Отже, формула для визначення зведеного моменту інерції буде мати вигляд:

$$\begin{aligned} J_{\text{зв}} &= J_1 + J_2 \left(\frac{\omega_2}{\omega_1} \right)^2 + J_3 \left(\frac{\omega_2}{\omega_1} \right)^2 + (J_4 + J_5) \left(\frac{\omega_4}{\omega_1} \right)^2 + (J_6 + J_7) \left(\frac{\omega_5}{\omega_1} \right)^2 + \\ &+ (J_6 + J_7 - J_H + (r_{w7} - r_{w8})^2) \left(\frac{\omega_5}{\omega_1} \right)^2 = \\ &= 0,1 + 0,12 \left(\frac{74,07}{100} \right)^2 + 0,11 \left(\frac{90,97}{100} \right)^2 + (0,16 + 0,24) \left(\frac{49,6}{100} \right)^2 - (0,32 + 0,34) \left(\frac{248}{100} \right)^2 + \\ &+ (0,32 + 0,34 + 0,26 - (0,24 - 0,09)^2) \left(\frac{396,8}{100} \right)^2 = 19,25 \text{ кг}\cdot\text{м}^2. \end{aligned}$$